

## مکان یابی QTL‌های کنترل کننده عملکرد در جمعیت F<sub>2</sub> دو رقم برج ایرانی

صادق موافق<sup>۱</sup>، بابک ربیعی<sup>۲</sup>، احمد زارع فیض آبادی<sup>۳</sup>، قدیر طاهری<sup>۴</sup>

### چکیده

به منظور شناسایی QTL‌های کنترل کننده عملکرد برج از جمعیت F<sub>2</sub> حاصل از تلاقی بین ارقام گرده و دم‌سفید استفاده گردید. والد گرده و دم‌سفید به ترتیب دارای متوسط عملکرد ۴۳/۲۵ و ۳۱/۵۵ گرم در بوته بودند که با استفاده از آزمون t-استیودنت تفاوت معنی داری در سطح احتمال ۱۰/۰ نشان دادند. ژنوتیپ ۱۹۴ بوته F<sub>2</sub> با استفاده از ۱۱۷ نشانگر AFLP تعیین شد و نقشه پیوستگی جمعیت با استفاده از نرم افزار Map Manager v2.6.5 تهیه گردید. طول نقشه بدست آمده ۱۲۱۲ سانتی مورگان با متوسط فاصله ۱۱/۸۸ سانتی مورگان بود. برای تشخیص ارتباط بین ژنوتیپ نشانگر و ارزش صفت در افراد F<sub>2</sub>، تجزیه QTL با استفاده از دو روش مکان یابی فاصله‌ای ساده و مکان یابی فاصله‌ای مرکب انجام گرفت. در جمعیت F<sub>2</sub>، یک QTL پیوسته با عملکرد روی گروه پیوستگی ۲ شناسایی شد. تنوع فنوتیپی همبسته با این QTL در حدود ۸/۳ درصد و اثر افزایشی این QTL در حدود ۲/۶۲ گرم در بوته بود. در QTL شناسایی شده آلل‌های والد گرده باعث افزایش عملکرد دانه در بوته‌های F<sub>2</sub> شدند.

**واژه‌های کلیدی:** برج، نقشه پیوستگی، نشانگرهای AFLP، تجزیه QTL

روی کروموزوم‌ها و برآورد اثر آنها روی صفت کمی به وسیله محققین زیادی در برج مورد مطالعه قرار گرفته است (۱، ۱۴، ۱۳، ۱، ۳ و ۴). لی و همکاران (۸) تحقیقی را به منظور بررسی ژنتیکی سرعت رشد گیاهان زراعی و ارتباط آن با عملکرد و اجزای عملکرد در برج روی ۲۵۸ لاین اینبرد نوترکیب (RIL)<sup>۱</sup> حاصل از تلاقی رقم Lemont و Teqing انجام دادند. سرعت رشد گیاه یک خصوصیت دینامیکی بوده که عملکرد نهایی را در غلات تعیین می‌کند. آنها هشت QTL برای سرعت رشد گیاه در چهار دوره متواتی شناسایی کردند که روی کروموزوم‌های ۳ (دو QTL)، ۸ (دو QTL)، ۱۰، ۱۱ و ۱۲ قرار داشتند. برای عملکرد دانه نیز دو QTL شناسایی نمودند که روی کروموزوم‌های ۸ و ۱۱ برج قرار داشتند.

### مقدمه

یکی از اهداف مهم برنامه‌های به نژادی برج افزایش عملکرد در واحد سطح می‌باشد. به دلیل کمی بودن این صفت مهم و کنترل آن به وسیله چندین ژن و تأثیر شدید عوامل محیطی روی آن مطالعه ژنتیکی آن بسیار مشکل است. در صورتی که بتوان با اعمال روش‌های مناسب، تعداد ژن‌ها، جایگاه ژنومی و سهم هر یک از آنها را در کنترل تنوع فنوتیپی عملکرد دانه مشخص نمود، شاید بتوان همانند صفات تک ژنی به اصلاح این صفت پرداخت. روش‌های تجزیه QTL راهکاری جدید و مناسب برای رسیدن به این هدف بوده و می‌توان از نتایج آن به خوبی در برنامه‌های به نژادی آینده استفاده نمود.

تشخیص لینکاژ بین QTL‌ها و نشانگرهای، تعیین محل آنها

۱- کارشناس ارشد اصلاح نباتات، مرکز تحقیقات کشاورزی و منابع طبیعی خراسان رضوی، ۲- استادیار دانشکده علوم کشاورزی دانشگاه گیلان، ۳- دانشیار زراعت، مرکز تحقیقات کشاورزی و منابع طبیعی خراسان رضوی، ۴- هیأت علمی دانشگاه آزاد اسلامی واحد نیشابور

با استفاده از خانواده‌های BC<sub>1</sub>F<sub>2</sub> و نشانگرها ریزماهواره انجام دادند. آنها در مجموع هفتاد QTL در یک محیط و شصت و شش QTL در محیط دوم با استفاده از تجزیه تک نشانگری شناسایی نمودند که هیجده QTL در نواحی کروموزومی مشابهی در هر دو محیط قرار داشتند. در روش مکان یابی فاصله‌ای، تعداد هشت صفت با کروموزوم ۷ در محیط اول و تعداد هفت صفت با کروموزوم ۵ در محیط دوم پیوسته بودند. به علاوه، با این روش چهل و یک QTL در محیط اول و سی و شش QTL در محیط دوم شناسایی شدند که بیست QTL در نواحی کروموزومی مشابهی در هر دو محیط مشخص شدند. آنها در بررسی خود در یک محیط تعداد هفت QTL روی کروموزوم‌های ۱، ۳، ۴ (سه QTL) و ۷ برای صفت عملکرد در گیاه شناسایی کردند که ۱۲/۹ تا ۳۹/۱۱ درصد از تنوع فتوتیپی این صفت را توجیه نمودند و در محیط دیگر تعداد یازده QTL را ردیابی نمودند که هر یک ۱۲/۲۹ تا ۲۳/۸۳ درصد از تنوع فتوتیپی عملکرد در گیاه را توجیه می‌نمودند. زیالو و همکاران (۱۷ و ۱۸) نیز برای صفت عملکرد تنها دو QTL روی کروموزوم‌های ۱ و ۲ شناسایی کردند که هر یک در حدود ۱۸ درصد از تنوع فتوتیپی را توجیه نمودند.

هدف از انجام این تحقیق تهیه نقشه پیوستگی نشانگرها AFLP در جمعیت F<sub>2</sub> حاصل از تلاقی رقم‌های برنج دم‌سفید و گرده، مکان یابی QTL‌های کنترل کننده عملکرد دانه روى نقشه پیوستگی تهیه شده در جمعیت F<sub>2</sub> و برآورد نوع عمل ژن و سهم هر یک از QTL‌های شناسایی شده در تبیین تنوع فتوتیپی عملکرد دانه بوده است.

## مواد و روش‌ها

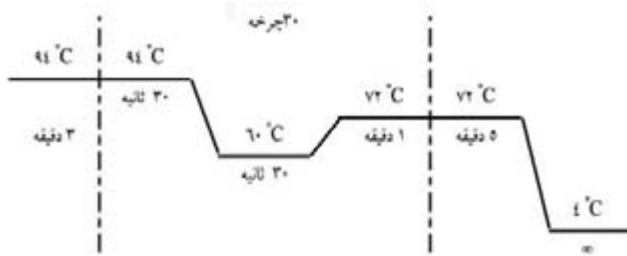
این تحقیق در خرداد ماه سال ۱۳۸۵ در آزمایشگاه ژنومیکس پژوهشکده بیوتکنولوژی کشاورزی منطقه شمال کشور در رشت انجام شد. جمعیت تهیه نقشه تحقیق حاضر شامل ۱۹۲ بوته F<sub>2</sub> حاصل از تلاقی دو رقم برنج ایرانی به اسمی دم سفید (یک رقم بومی گیلان با ارتفاع بلند، کیفیت خوب و عملکرد پایین) و گرده (یک رقم بومی زنجان با ارتفاع کم، کیفیت پایین و عملکرد متوسط تا زیاد) به همراه

یون و همکاران (۱۹) مکان یابی QTL‌های کنترل کننده اجزای عملکرد و برخی صفات مورفوЛОژیکی را در یک جمعیت BC<sub>1</sub>F<sub>2</sub> حاصل از تلاقی *O.grandiglumis sativa* رقم Hwaseongbyeo با استفاده از ۵۱ نشانگر SSR QTL انجام دادند. آنها برای عملکرد دانه در بوته تنها یک روی کروموزوم ۲ شناسایی نمودند که ۱۱/۵ درصد تنوع فتوتیپی این صفت را کنترل می‌کرد.

ماری و همکاران (۱۲) از لاین‌های بک کراس پیشرفته برای مکان یابی QTL‌های مرتبط با عملکرد دانه استفاده نمودند و با مکان یابی فاصله‌ای (IM)<sup>۱</sup> و مکان یابی فاصله‌ای مرکب (CIM)<sup>۱</sup> تعداد سی و نه QTL برای ۱۳ صفت زراعی شناسایی کردند. آنها با کاربرد ۸۰ نشانگر SSR با روش CIM تعداد بیست و پنج QTL و با روش IM تعداد سی و یک QTL شناسایی کردند که هفده QTL در هر دو روش شناسایی شد. این سی و نه QTL در روی کروموزوم‌های ۱، ۲، ۴، ۳، ۵، ۸ و ۹ مکان یابی شدند. در این بررسی مشخص شد که ال‌های *O.rufipogon* اثر مثبتی روی ۷۴ درصد از QTL‌های شناسایی شده برای عملکرد و اجزای عملکرد دارند. آنها هفت QTL روی کروموزوم‌های ۱، ۲ و ۸ (پنج QTL) برای صفت عملکرد و سه QTL روی کروموزوم‌های ۲ (دو QTL) ۹ برای صفت عملکرد دانه در بوته شناسایی نمودند. از هفت QTL شناسایی شده برای عملکرد، شش QTL در تحقیقات قبلی توسط ژوانگ و همکاران (۲۳)، لی و همکاران (۹)، زیالو و همکاران (۱۷) و یو و همکاران (۲۰) شناسایی شده بود.

سپتی نینگ سی و همکاران (۱۴) به منظور شناسایی QTL‌های عملکرد و اجزای عملکرد در یک جمعیت بک کراس پیشرفته حاصل از تلاقی رقم زراعی IR64 و رقم وحشی *O.rufipogon*، از ۱۶۵ نشانگر SSR و ۳۴ نشانگر RFLP استفاده نمودند. آنها با دو روش مکان یابی فاصله‌ای ساده و مکان یابی فاصله‌ای مرکب سه QTL روی کروموزوم‌های ۱ (دو QTL) و ۲ برای صفت عملکرد در بوته شناسایی کردند.

بروندانی و همکاران (۵) مکان یابی QTL‌ها را برای صفات وابسته به عملکرد در دو محیط



شکل ۱: برنامه دمایی مربوط به مرحله پیش تکثیر

مرحله تکثیر انتخابی با استفاده از آغازگرهای اختصاصی سازگارسازهای *Pst I* و *Mse I* صورت گرفت. توالی این آغازگرهای در جدول ۱ نشان داده شده‌اند.

با استفاده از این آغازگرهای در مجموع ده ترکیب آغازگری مختلف برای انجام تکثیر انتخابی تشکیل شد. مخلوط ۱۵ میکرولیتری برای انجام این مرحله حاوی دو میکرولیتر از محصول PCR رقیق شده مرحله قبل، یک میکرولیتر از هر یک از آغازگرهای اختصاصی، ۰/۶ میکرولیتر کلرید منزیم ۵۰ میلی مولار، ۱/۵ میکرولیتر بافر ۱۰ PCR برابر (X)، ۰/۳ میکرولیتر مخلوط چهار نوع نوکلئوتید با غلظت ۱۰ میلی مولار و ۰/۲ میکرولیتر آنزیم Taq پلیمراز ۵ واحد بود. مخلوط فوق جهت تکثیر انتخابی تحت برنامه‌ای دو مرحله‌ای شامل ۱۲ چرخه و ۲۳ چرخه در دستگاه ترموسایکلر قرار گرفت (شکل ۲).

به منظور انجام الکتروفورز، ابتدا ۵ میکرولیتر محلول رنگی بارگذاری فرمamید به محصول PCR حاصل از تکثیر انتخابی مرحله قبل افزوده شد و به مدت سه دقیقه در دمای ۹۶ سانتیگراد به منظور انجام عمل و اسرشته سازی قرار گرفت و سپس سریعاً روی یخ منتقل گردید. چهار میکرولیتر از این مخلوط روی ژل پلی اکریلامید ۶ درصد

جدول ۱: توالی آغازگرهای اختصاصی مورد استفاده برای انجام تکثیر DNA انتخابی

	5'-GACTCGCTACATGCAGCCA-3'
P51 Primer	5'-GACTCGCTACATGCAGGT-3'
P70 Primer	5'-GATGAGTCCTGAGTAAACC-3'
M36 Primer	5'-GATGAGTCCTGAGTAACAA-3'
M47 Primer	5'-GATGAGTCCTGAGTAACAC-3'
M48 Primer	5'-GATGAGTCCTGAGTAACAG-3'
M49 Primer	5'-GATGAGTCCTGAGTAACAT-3'
M50 Primer	5'-GATGAGTCCTGAGTAACCA-3'
M51 Primer	5'-GATGAGTCCTGAGTAACCT-3'
M54 Primer	5'-GATGAGTCCTGAGTAACCT-3'

دو والد بود که قبل توسط ریبیعی و همکاران (۱۳) تهیه شده بود.

روش AFLP همانند روش وس و همکاران (۱۵) با تغییرات اندکی انجام شد. ۲۰۰ نانو گرم از DNA ژنومی با استفاده از دو آنزیم محدودگر *Pst I* و *Mse I* در محلول واکنش ۴۰ میکرولیتری حاوی بافر (10 mM Tris-HCl pH 8.5, 10 mM MgCl<sub>2</sub>, 100 mM R KCl and 0.1 mg/ml BCA) که این دو آنزیم در آن تا حدود ۱۰۰ درصد فعالیت دارند، به مدت یک شبانه روز در دمای ۳۷ درجه سانتیگراد مورد هضم قرار گرفتند. بعد از انجام مرحله گوارش، محلول ۱۰ میکرولیتری شامل سازگارسازهای (آدیپورهای) *I* و *Pst I* به ترتیب با غلظت‌های ۵ و ۵۰ پیکومول و بافر اتصال (حاوی ATP) تهیه و به محلول واکنش این مرحله افزوده گردید.

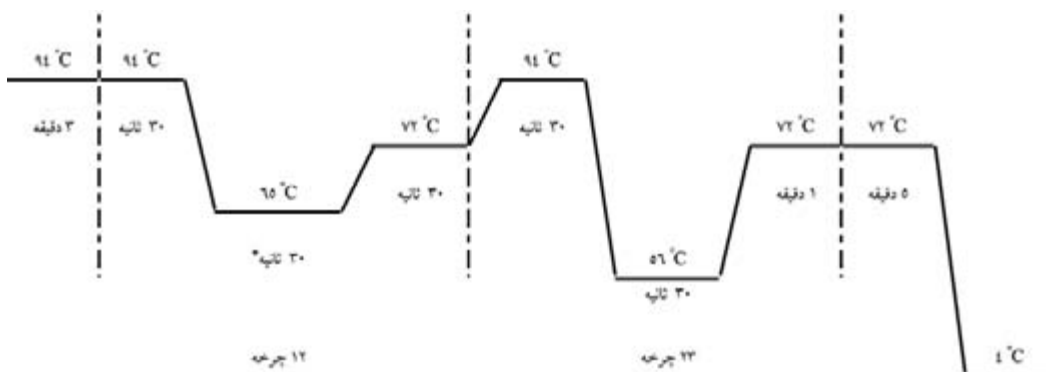
و به مدت یک ساعت در دمای ۳۷ درجه سانتیگراد و دو ساعت در دمای ۲۰ درجه سانتیگراد قرار گرفت تا سازگارسازها به پایانه‌های برش یافته متصل گردند. سازگارسازهای مورد استفاده دارای توالی زیر بودند:

سازگارساز *I* 5'-GACGATGAGTCCTGAG-3' *Mse I*  
3'-TACTCAGGACTCAT-5'  
5'-CTCGTAGACTGCGTACATGCA-3' *Pst I*  
3'-CATCTGACGCATGT-5'

مرحله پیش تکثیر با استفاده از آغازگرهای *I* و *Pst I* بدون نوکلئوتید اضافی در انتهای ۳ انجام گرفت و دارای توالی زیر بودند:

آغازگر M00 5'-GATGAGTCCTGAGTAA-3'  
آغازگر P00 5'-GACTGCGTACATGCAG-3'

مخلوط واکنش شامل دو میکرولیتر محلول DNA هضم شده و اتصال یافته با سازگارسازها (رقیق شده به نسبت ۱:۵)، یک میکرولیتر از هر یک از دو آغازگر فوق با غلظت ۶۰ نانو گرم در میکرولیتر، یک میکرولیتر کلرید منزیم ۲ میلی مولار، ۲/۵ میکرولیتر بافر PCR با غلظت ۱۰ برابر (X)، ۰/۵ میکرولیتر مخلوط چهار نوع نوکلئوتید با غلظت ۱۰ میلی مولار و ۰/۲ میکرولیتر آنزیم Taq پلیمراز DNA (۵) واحد بود. تیوب‌های حاوی مخلوط فوق، جهت انجام پیش تکثیر تحت یک برنامه دمایی ۳۰ چرخه‌ای در دستگاه ترموسایکلر قرار گرفتند (شکل ۱).



شکل ۲: برنامه دمایی مورد استفاده برای انجام تکثیر انتخابی

در جمعیت  $F_2$  به کمک نرم افزار Win QTL Cartographer (۲) مکان یابی گردیدند. برای انتخاب حداقل مقدار LOD یا LRT به منظور تعیین QTL های معنی دار از آزمون تبدیل<sup>۱</sup> استفاده گردید.

### نتایج و بحث

ارزش های فنوتیپی مربوط به عملکرد والدین، نتاج  $F_1$  و بوته های  $F_2$  در جدول ۲ نشان داده شده است. انجام آزمون t-استیویدنت که به منظور مقایسه میانگین بین والدین صورت پذیرفت وجود تفاوت معنی داری را در سطح احتمال یک درصد برای عملکرد دانه نشان داد. این تفاوت بسیار معنی دار بین والدین، استفاده از آنها را برای مکان یابی QTL ها تسهیل می نمود. همان طور که در جدول ۲ نشان داده شد عملکرد والد دم سفید به میزان ۱۱/۷ گرم در بوته کمتر از والد گرده است. میانگین عملکرد نتاج  $F_1$  و  $F_2$  در بوته بوده و از میانگین عملکرد هر دو والد بیشتر بود که می تواند دلیلی بر وجود هتروزیس در بوته های  $F_1$  باشد.

بارگذاری و با توان ۸۵ وات به مدت یک ساعت و نیم الکتروفورز شد. برای رنگ آمیزی ژل ها از روش نیترات نقره استفاده گردید.

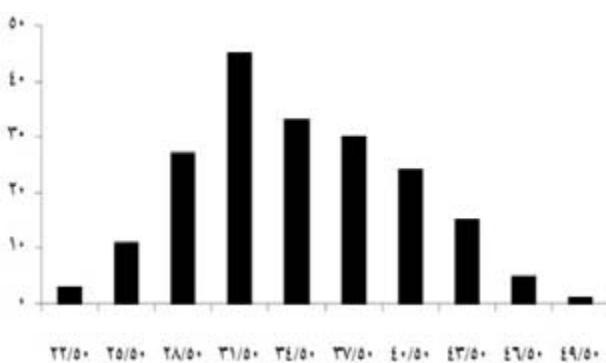
پس از اتمام مراحل آزمایشگاهی امتیاز دادن افراد  $F_2$  بر اساس نوارهای (باندهای) چند شکل انجام شد. در این مرحله ابتدا نوارهای چند شکل در بین دو والد مشخص شدند و سپس همان نوارها در افراد  $F_2$  ردیابی گردیدند. نحوه کار بدین صورت بود که به والدی که دارای یک نوار بود امتیاز ۱ و والد دیگر که فاقد آن نوار بود امتیاز ۰ تعلق گرفت. همین قاعده در مورد افراد  $F_2$  نیز پیاده گشت.

بعد از تعیین ژنوتیپ کلیه افراد  $F_2$  از نظر این نشانگرهای داده های حاصل به صورت یک ماتریس  $117 \times 194$  تنظیم و نقشه پیوستگی با استفاده از نرم افزار Map Manager v2.6.5 (۱۱) ترسیم و سپس مکان یابی QTL ها برای عملکرد دانه انجام گرفت. برای تجزیه QTL از روش های مکان یابی فاصله ای ساده (۷) و مکان یابی فاصله ای مرکب (۲۱ و ۲۲) استفاده گردید. QTL های کنترل کننده عملکرد دانه در بوته

جدول ۲: ارزش های فنوتیپی والدین و نسل های  $F_1$  و  $F_2$  و آزمون t برای مقایسه بین والدین

$F_t$ $(\bar{F}_2 \pm S_{\bar{x}})$	$F_1$ $(\bar{F}_1 \pm S_{\bar{x}})$	ارزش t $ \bar{P}_1 - \bar{P}_2 $	والدین		صفت
			گرد $(\bar{P}_2 \pm S_{\bar{x}})$	سفید $(\bar{P}_1 \pm S_{\bar{x}})$	
۴۴/۴۹±۰/۷۷	۵۴/۱۴±۰/۵۳	۱۲/۲۲**	۴۳/۲۵۰±۰/۶۶	۳۱/۵۴۹±۰/۵۷	عملکرد دانه

\*\*: معنی دار در سطح احتمال ۱٪



شکل ۳: توزیع فراوانی ارزش‌های فتوتیپی عملکرد دانه در بوته‌های F<sub>2</sub>, D, F<sub>1</sub> و G به ترتیب ارزش فتوتیپی والدین دمسفید و گرده را نشان می‌دهد

آغازگری P70-M49 با ۱۷ نوار چند شکل دارای بیشترین چند شکلی و ترکیب‌های آغازگری P70-M54 و P51-M49 هر یک با ۸ نوار چند شکل دارای کمترین در بین کلیه ترکیب‌های آغازگری مورد مطالعه بودند. متوسط تعداد نوارهای چند شکل نیز ۱۱/۷ به ازای هر ترکیب آغازگری بود.

به منظور بررسی وجود یا عدم وجود انحراف فراوانی‌های آللی و ژنتیکی مشاهده شده از نسبت مندلی مورد انتظار (نسبت ۳:۱)، از آزمون<sup>۲</sup> استفاده گردید. نتایج حاصل بیانگر این مطلب بود که از بین ۱۱۵ نشانگری که وارد نقشه شدند، ۳۲ نشانگر (۲۷/۸ درصد) از نسبت تفرق مورد انتظار مندلی (۳:۱) تبعیت نمی‌کنند و در واقع فراوانی آللی و ژنتیکی آنها حداقل در سطح ۵ درصد متفاوت از آن چیزی بود که مورد انتظار می‌باشد. علت این امر را می‌توان بدین صورت بیان کرد که نشانگرها ای AFLP تا اندازه‌ای از خود حالت همبازی نیز نشان می‌دهند که تنها در سطح پیشرفته‌ای می‌توان آن را شناسایی نمود و در واقع در مورد تعدادی از آنها حالت همبازی و به تبع آن نسبت ۱:۲:۱ بایستی مشاهده می‌شد که در اکثر موارد از این واقعیت چشم پوشی گردید و از آنجایی که این همبازی قابل تشخیص نبود باعث بروز مقداری خطای نیز شده است.

علاوه اشتباه استاندارد نتاج F<sub>1</sub> کمتر از هر دو والد می‌باشد و می‌تواند دلیلی بر هموستازی افراد هتروزیگوت F<sub>1</sub> در مقابل اثر عوامل نامساعد محیطی باشد. همچنین متوسط عملکرد بوته‌های F<sub>2</sub> به میزان ۱۹/۶۵ گرم در بوته نسبت به نتاج نسل F<sub>1</sub> کاهش داشت، در حالی که تنوع فتوتیپی مشاهده شده در آنها بیشتر از والدین و نسل F<sub>1</sub> بود. این موضوع مورد انتظار نیز بود، چرا که بوته‌های نسل F<sub>2</sub> از نظر ژنتیکی تفاوت داشته و تنوع مشاهده شده در آنها ناشی از عوامل ژنتیکی و غیر ژنتیکی است، اما والدین و نسل F<sub>1</sub> گروه‌های یکنواخت ژنتیکی بوده و تنوع آنها تنها به دلیل اثر عوامل محیطی است.

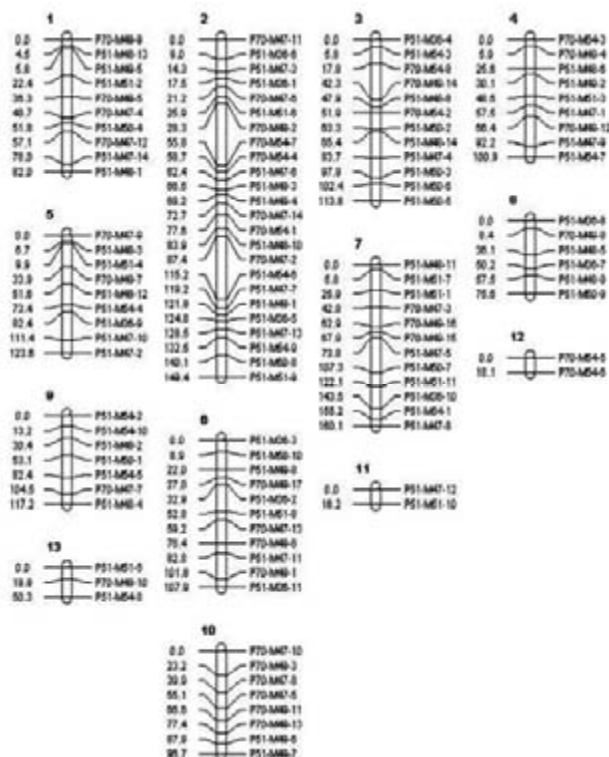
جدول ۳ نیز برخی از پارامترهای ژنتیکی مربوط به عملکرد از قبیل واریانس‌های فتوتیپی، ژنتیکی و محیطی و وراثت پذیری عمومی را در والدین و نسل‌های F<sub>1</sub> و F<sub>2</sub> نشان می‌دهد. همان طور که مشاهده می‌گردد سهم بیشتری از تنوع فتوتیپی مشاهده شده در عملکرد دانه توسط عوامل محیطی کنترل شده و سهم عوامل ژنتیکی تنها ۴۰ درصد است.

توزیع فراوانی ارزش‌های فتوتیپی مربوط به عملکرد در نتاج F<sub>2</sub> در شکل ۳ نشان داده شده است. انجام آزمون‌های چولگی و کشیدگی نشان داد که توزیع فتوتیپی پیوسته و تقریباً نرمالی در نتاج F<sub>2</sub> وجود دارد که احتمالاً دلیلی بر کمی بودن صفت مورد مطالعه می‌باشد.

**جستجوی چند شکلی در بین والدین و نتاج F<sub>2</sub>**  
در این تحقیق با استفاده از ده ترکیب آغازگری مختلف در مجموع ۱۱۷ نوار چند شکل در بین دو والد شناسایی شد و با استفاده از همین نوارها ژنتیک والدین و افراد F<sub>2</sub> مشخص شد. شکل ۴ الکتروفورز محصول PCR ترکیب آغازگری P70-M47 تعدادی از افراد را روی ژل پلی اکریلامید ۶٪ نشان می‌دهد. مقایسه چند شکلی در ترکیب‌های آغازگری مورد مطالعه نشان داد که ترکیب

جدول ۳: واریانس‌های فتوتیپی، ژنتیکی و محیطی و وراثت پذیری عمومی عملکرد دانه

وراثت پذیری عمومی	واریانس ژنتیکی	واریانس محیطی	واریانس فتوتیپی				صفت
			F <sub>2</sub>	F <sub>1</sub>	P <sub>۱</sub>	P <sub>۲</sub>	
۰/۴	۱۲/۲۳	۱۷/۶۷	۲۹/۹	۱۴/۵۴	۲۲/۱۲	۱۶/۳۵	عملکرد دانه



شکل ۵: نقشه پیوستگی ۱۱۷ نشانگر AFLP در جمعیت  $F_2$  حاصل از تلاقي گرده×دمسفید. در سمت راست گروههای پیوستگی، اسمی نشانگرها و در سمت چپ آنها فاصله ژنتیکی بین نشانگرها بر اساس تابع کوسامبی نشان داده شده است.

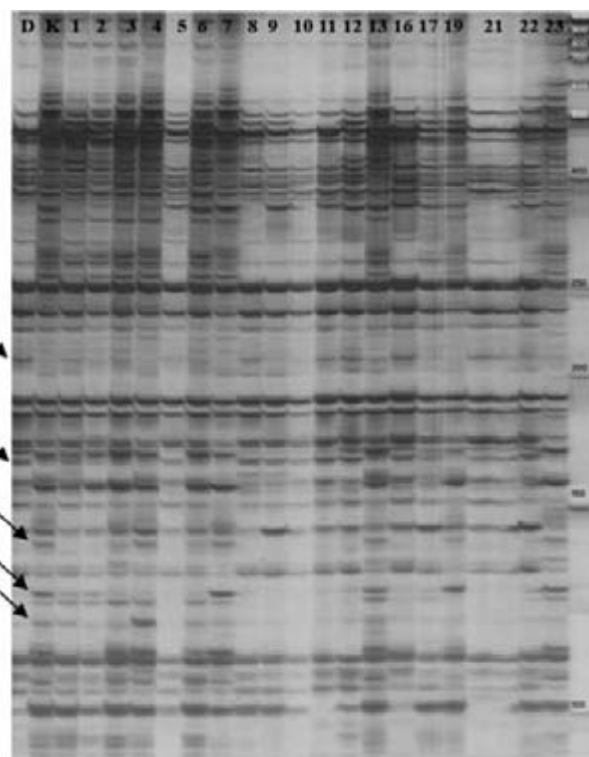
پیوسته نبودند و به عنوان نشانگرهای ناپیوسته شناسایی شدند.

#### مکان یابی QTL‌های کنترل کننده عملکرد

به منظور ردیابی QTL‌های کنترل کننده عملکرد از دو روش مکان یابی فاصله‌ای ساده (SIM)<sup>۱</sup> و مکان یابی فاصله‌ای مرکب (CIM) استفاده شد. برای این منظور از نرم افزار QTL Cartographer Win<sup>۲</sup> استفاده گردید و افزار QTL Cartographer Win<sup>۳</sup> را می‌توان تبدیل استفاده گردید و نرم افزار Win QTL Cartographer<sup>۴</sup> حداfeld LRT=۹ را محاسبه نمود.

#### مکان یابی فاصله‌ای ساده (SIM)

به منظور شناسایی موقعیت ژنومی QTL‌ها ابتدا از روش



شکل ۶: نمایی از ژل مربوط به الکتروفوروز تعدادی از افراد با ترکیب آغازگری P70-M47 ستون‌ها به ترتیب از چپ به راست، الگوی نوارهای والد دمسفید، والد گرده،  $F_2$  بوته و در نهایت استاندارد DNA (Fermentas, 50 bp) را نشان می‌دهند. پیکان‌ها محل نوارهایی را نشان می‌دهند که چند شکلی خوبی در بین والدین و افراد  $F_2$  نشان دادند.

باایستی متذکر شد که نشانگرهای AFLP در گروه نشانگرهای غالب قرار می‌گیرند و تکنیک مربوط به آنها نیز بر همین اساس پایه ریزی شده است و امکانات موجود نیز تنها همین حالت غالب را نشان می‌دهند.

#### تعییه نقشه پیوستگی

نقشه پیوستگی ۱۱۷ نشانگر چند شکلی مورد مطالعه در شکل ۵ نشان داده شده است. همان طور که ملاحظه می‌شود ۱۱۷ نشانگر در ۱۳ گروه پیوستگی قرار گرفتند. نقشه حاصل ۱۲۱۲ سانتی مورگان از ژنوم برنج را تحت پوشش قرار داد و فاصله هر دو نشانگر مجاور از یکدیگر به طور متوسط ۱۱/۸۸ سانتی مورگان برآورد شد (شکل ۵). بعلاوه دو نشانگر ۷- P51-M48 و ۱- P70-M47 با هیچ یک از نشانگرها

جدول ۴: QTL‌های شناسایی شده برای عملکرد دانه برنج به روش مکان‌یابی فاصله‌ای ساده (SIM) و مکان‌یابی فاصله‌ای مركب (CIM) در جمعیت F<sub>2</sub>

اثر افزایشی	<sup>b</sup> R <sup>F</sup>	LOD	(cM) <sup>a</sup>	موقعیت <sup>a</sup>	نشانگرهاي مجاور	گروه پيوستگي	QTL	روش
۲/۶۲۱	۴/۸	۲	۱۷/۴۹	P51-M38-1/P70-M47-6		۲	gy2	SIM
۴/۷۴	۸/۳	۲/۷۷	۱۷/۴۹	P51-M38-1/P70-M47-6		۲	gy2	CIM

a- فاصله داده شده، فاصله QTL را از ابتدای گروه پيوستگي نشان می‌دهد. b- درصد واريانس فنتوتيبی توجيه شده به وسیله QTL مورد نظر را بیان می‌کند.

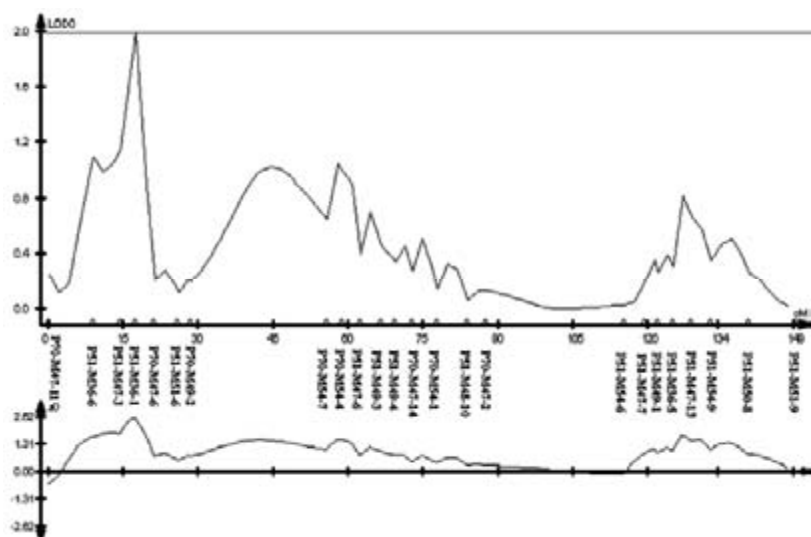
شناسایی شده در جمعیت F<sub>2</sub> در این روش دارای LOD برابر با ۳/۷۷ بود و در حدود ۸/۳ درصد از تنوع فنتوتيبی عملکرد دانه در بوته را توجيه کرد. اين QTL بر روی گروه پيوستگي ۲ و در حد فاصل بين نشانگرهاي ۶-P70-M47-6 و P51-M38-1 قرار داشته و اثر افزایشی آن ۴/۷۴ گرم در بوته بود و در آن اللهای والد گرده باعث افزایش عملکرد دانه در بوته می‌شوند.

مقایسه دو منحنی LOD گروه پيوستگي دوم مربوط به دو روش مختلف مورد استفاده تفاوت‌هایی را نسبت به هم نشان داد. در منحنی LOD مربوط به روش مکان‌یابی فاصله‌ای ساده (شکل ۶)، QTL شناسایی شده دارای مقدار LOD برابر با ۲ و اثر فنتوتيبی ۴/۸ درصد بود، در حالی که QTL شناسایی شده در روش مکان‌یابی فاصله‌ای مركب (شکل ۷) با اينکه دقیقاً در همان محل شناسایی گردید دارای LOD برابر با ۳/۷۷ و اثر فنتوتيبی ۸/۳ درصد بود. اگر به شکل ۶ توجه شود مشاهده می‌گردد که اين منحنی دارای نقاط پیک دیگری غير از محل QTL شناسایی شده می‌باشد

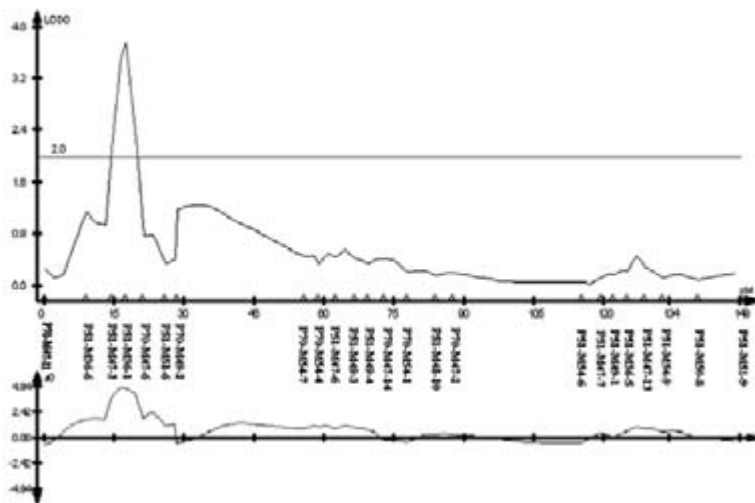
مکان‌یابی فاصله‌ای ساده (۷) استفاده گردید. در جمعیت F<sub>2</sub>، تنها یک QTL کنترل کننده عملکرد دانه شناسایی شد که روی گروه پيوستگي ۲ و بين نشانگرهاي ۱-P51-M38-1 و ۶-P70-M47-6 قرار داشت و ۴/۸ درصد از تنوع فنتوتيبی عملکرد دانه در بوته را توجيه نمود (جدول ۴ و شکل ۶). اثر افزایشی اين QTL در حدود ۲/۶۲ گرم در بوته و آن LOD برابر با ۲ بود و در آن اللهای والد گرده باعث افزایش عملکرد دانه شدند.

**مکان‌یابی فاصله‌ای مركب (CIM)**  
در اين روش يك آزمون فاصله‌ای برای ردیابی QTL در يك فاصله انجام می‌شود و اثر سایر QTL‌ها به عنوان متغیرهای کوواریت از اثر QTL اصلی جدا شده و در پی آن اشتباه آزمایشي کاهش یافته و مکان‌یابی QTL‌ها با دقت بیشتری صورت می‌گيرد (۱).

نتایج حاصل از این تجزیه در جدول ۴ نشان داده شده است. همان طور که در جدول نیز مشاهده می‌شود QTL



شکل ۶: منحنی LOD مربوط به گروه پيوستگي ۲ و نمودار اثر افزایشی مربوطه با استفاده از روش مکان‌یابی فاصله‌ای ساده (SIM) در جمعیت F<sub>2</sub>



شکل ۷: منحنی LOD برای ردیابی QTL در روش مکان یابی فاصله‌ای مرکب برای صفت عملکرد دانه و نمودار اثر افزایشی مربوطه در روی گروه پیوستگی شماره ۲ در جمعیت  $F_2$

بسیار زیاد و حدود ۳۰/۵ گرم در بوته بود.

ماری و همکاران (۱۲) با استفاده از ۲۵۱ خانواده تست کراس و با به کارگیری ۸۰ نشانگر SSR برای صفت عملکرد دانه در واحد بوته به روش SIM سه QTL روی کروموزوم‌های ۲ (دو QTL) و ۹ با اثرهای افزایشی به ترتیب برابر ۳/۷۹، ۳/۷۹ و ۳/۸۴-۲/۷-۷/۰۵ و ۷/۰۵ درصد از تنوع فنتوتیپی عملکرد دانه در بوته را در کنترل داشتند. این محققین به روش CIM تها یک QTL روی کروموزوم ۲ شناسایی نمودند که دارای اثر افزایشی ۳/۵۸ بوده و ۱۲/۲۱ درصد از تنوع فنتوتیپی صفت عملکرد در گیاه را توجیح می‌نمود. بعلاوه، برای صفت عملکرد در واحد کرت به روش SIM شش QTL و با روش CIM چهار QTL را مکان یابی نمودند که در روش SIM دو QTL دارای اثر فنتوتیپی کمتر از ۱۰ درصد بودند و غیر از یک QTL، اثر افزایشی سایر QTL‌ها بسیار بالا بود. دامنه تأثیر این مکان‌های ژنی روی توزیع فنتوتیپی صفت از ۵/۸۶ تا ۲۰/۲۴ درصد متغیر بود. QTL‌هایی که به روش CIM ردیابی شدند به جز یکی از آنها، بقیه زیر ۱۰ درصد از تنوع فنتوتیپی عملکرد در واحد کرت را در کنترل داشتند. سپتی نینگ سی و همکاران (۱۴) با استفاده از ۲۸۵ خانواده BC<sub>2</sub>F<sub>2</sub> و به کمک ۱۶۵ نشانگر SSR و ۳۴ نشانگر RFLP توانستند با استفاده از هر دو روش SIM و CIM سه QTL روی کروموزوم‌های ۱ (دو QTL) و ۲ برای صفت عملکرد دانه در بوته شناسایی کنند که در هر دو روش همچون تحقیق

که نسبت به نقاط همچوار خود نقطه پیک محسوب می‌شوند. از آنجایی که این نقاط پیک ثانوی در روش CIM به عنوان متغیر کوواریت وارد مدل رگرسیون چندگانه می‌شوند و اثر آنها به عنوان QTL‌های ثانوی از اثر QTL فوق جدا می‌گردد (۱)، لذا به نظر می‌رسد که اثر QTL‌های همچوار باعث کاهش LOD نقطه پیک و اثر فنتوتیپی آن در روش SIM شده و در مقابل جدا کردن اثر آنها باعث افزایش LOD و اثر فنتوتیپی QTL در روش CIM شده است.

مقایسه نتایج حاصله از آنالیز داده‌ها با نتایج محققین دیگر نکات جالبی را روشن می‌نماید. همان طور که زیالاو و همکاران (۱۶)، لین و همکاران (۱۰) و بن موسی و همکاران (۴) نیز بیان کرده‌اند که تعداد QTL‌های کمی برای عملکرد قابل شناسایی است. لی و همکاران (۸) و راثت پذیری عملکرد دانه را ۶۰/۱ درصد برآورد نمودند. آنها با استفاده از روش CIM در یک جمعیت ۲۵۸ لاینی RIL دو QTL روی کروموزوم‌های ۸ و ۱۱ شناسایی کردند که اثر افزایشی آنها به ترتیب ۳/۲۹ و ۲/۴۵ بود. این دو QTL به ترتیب ۱۶/۴ و ۹/۱ درصد از تنوع فنتوتیپی عملکرد دانه را توجیه کردند. یون و همکاران (۱۹) با به کارگیری نشانگرهای SSR در یک جمعیت F<sub>2</sub> توانستند یک QTL روی کروموزوم ۲ شناسایی کنند که ۱۱/۵ درصد از تنوع فنتوتیپی را در کنترل داشت. همان طور که ملاحظه می‌شود آنها نیز اثر فنتوتیپی QTL فوق برآورد کردند، اما اثر افزایشی

های بزرگ اثر تلقی نمود. تنها در بررسی بروندانی و همکاران (۵) تعدادی از QTL‌ها بیش از ۲۰ درصد از تنوع فنوتیپی عملکرد گیاه را بر عهده داشتند. در مجموع تفاوت‌های مشاهده شده حاصل از مقایسات انجام گرفته را به دلایل مختلفی می‌توان نسبت داد از جمله اینکه صفت عملکرد همان طور که انتظار می‌رود از لحاظ بیولوژیکی بسیار پیچیده بوده و همان گونه که بررسی‌های مختلف نشان می‌دهند وراثت پذیری این صفت چندان بالا نیست و از آن جایی که QTL‌های مختلف روی کروموزوم‌های مختلف ردیابی شده‌اند می‌توان این واقعیت را نتیجه گیری کرد که ژن‌های کنترل کننده عملکرد در تمامی محیط‌ها به یک اندازه بیان نمی‌شوند و ممکن است یک ژن یا QTL در یک محیط ظاهر یافته و قابل ردیابی باشد، در حالی که در محیط دیگر اثر خود را بروز نداده و در نتیجه قابل شناسایی نباشد. از سوی دیگر در مطالعات مختلف از جمعیت‌های متنوعی با زمینه‌های ژنتیکی متفاوت استفاده شده است که هر یک ویژگی‌های خاص خود را داشته و متعاقباً نتایج متفاوتی را نیز بدست می‌دهند. در ضمن نباید فراموش کرد که ابزار دیگر این پژوهش‌ها یعنی نشانگرهای مورد استفاده نیز نقش به سزایی در حصول نتیجه دارند و از آنجایی که در تحقیق حاضر از نشانگرهای غالب AFLP استفاده شد و در گزارش‌های آورده شده از محققین دیگر از نشانگرهای دیگری نظر نشانگرهای RFLP و SSR استفاده شده است، عدم انطباق کامل نتایج دور از انتظار نیست. به هر حال برای اینکه یک نتیجه قطعی در مورد QTL‌های کنترل کننده عملکرد دانه در برنج بدست آید، لازم است تحقیقات بیشتری در جمعیت‌های مختلف با زمینه‌های ژنتیکی متفاوت و در شرایط محیطی مختلف صورت گیرد تا با مقایسه نتایج مختلف ایده بیشتری از QTL‌ها و اثرات آنها بدست آید.

حاضر هر یک از QTL‌ها کمتر از ۱۰ درصد از تنوع فنوتیپی عملکرد دانه را در کنترل داشتند. اثر افزایشی QTL‌ها نیز در روش SIM در دامنه ۱/۰۱ تا ۲/۳۰ و در روش CIM در دامنه ۲/۶۳ تا ۳/۲۲ گرم در بوته قرار داشت. در بررسی آنها نیز همچون پژوهش حاضر کلیه QTL‌های شناسایی شده در روش SIM به روش CIM نیز شناسایی گردید و تنها پارامترهای برآورده شده به دلایلی که قبل‌اً ذکر شد تغییر نمود. مطالعه آنها نیز نشان داد که صفت عملکرد بیش از آنکه تحت تأثیر عوامل ژنتیکی باشد، تحت تأثیر فاکتورهای محیطی است. بروندانی و همکاران (۵) در بررسی خود از یک جمعیت BC<sub>6</sub>F<sub>۲</sub> در دو شرایط محیطی مختلف استفاده کردند و با استفاده از ۱۵۷ نشانگر SSR و STS، در یک محیط تعداد هفت QTL کنترل کننده عملکرد دانه شناسایی کردند که روی کروموزوم‌های ۱، ۳، ۴ (سه QTL) و ۷ قرار داشتند و ۳۹/۱۱ تا ۱۲/۹ درصد از تنوع فنوتیپی این صفت را توجیه نمودند. در محیط دوم تعداد یازده QTL ردیابی نمودند که هر یک ۱۲/۲۹ تا ۲۳/۸۳ درصد از تنوع فنوتیپی عملکرد در گیاه را توجیه می‌نمودند. در مقابل، زیاو و همکاران (۱۷ و ۱۸) برای صفت عملکرد تنها دو QTL روی کروموزوم‌های ۱ و ۲ شناسایی کردند که هر یک در حدود ۱۸ درصد از تنوع فنوتیپی را توجیه می‌کردند.

نتیجه حاصل از آنالیز داده‌های تحقیق حاضر و پژوهش افراد دیگر حاکی از این مطلب است که عوامل ژنتیکی کنترل کننده عملکرد تأثیر کمی بر این صفت دارند و در مقابل عوامل محیطی اثر عمدہ‌ای بر آن می‌گذارند و از آنجایی که QTL بدست آمده در این مطالعه و نیز QTL‌های گزارش شده توسط افراد دیگر درصد پایینی از تنوع فنوتیپی را در کنترل صفت عملکرد بر عهده دارند، بر اساس گفته لین و همکاران (۱۰)، نمی‌توان آنها را به عنوان

## منابع

- ۱-ربیعی، ب. ۱۳۸۲. تجزیه QTL کنترل کننده صفات دانه در ارقام برنج ایرانی. رساله دکتری. دانشکده کشاورزی دانشگاه تبریز.
- 2-Basten, C.J., B.S. Weir and Z.B. Zeng. 2001. QTL Cartographer: a reference manual and tutorial for QTL mapping. North Carolina State University. USA. Pp. 163.
- 3-Benmoussa, M., A. Achouch and J. Zhu. 2005. QTL analysis for yield components in rice (*Oryza sativa* L.) under different environments. Journal Central European Agriculture. 6 (3): 317-322.
- 4-Benmoussa, M., A. Achouch1, S.A. Snoussi1 and J. Zhu. 2006. Conditional QTL analysis of genetic main effects and genotype × environment interaction effects for yield in rice (*Oryza sativa* L.). Journal of Food, Agriculture & Environment. 4 (1): 157-162.

- 5-Brondani, C., PHN. Rangel, RPV. Brondani and ME. Ferreira: 2002. QTL mapping and introgression of yield-related traits from *Oryza glumaepatula* to cultivated rice (*Oryza sativa*) using microsatelite makers. *Theor. Appl. Genet.* 104: 1192-1203.
- 7-Lander, E.S. and D. Botstein. 1989. Mapping Mendelian factors underlying quantitative traits using RFLP linkage maps. *Genetics* 121: 185-199.
- 8-Li, S.B., Z.H. Zhang, Y. Hu, C.Y. Li, X. Jiang, T. Mao, Y.S. Li and Y.G. Zhu. 2006. Genetic dissection of developmental behavior of crop growth rate and its relationships with yield and yield related traits in rice. *Plant Science*. 170: 911-917.
- 9-Li, Z., S.R. Pinson, W.D. Park, A.H. Paterson and J.W. Stansel. 1997. Epistasis for three grain yield components in rice (*Oryza sativa* L.). *Genetics* 145: 453-465.
- 10-Lin, H. X., H. R. Qian, J.Y. Zhuang, J. Lu, S.K. Min, Z.M. Xiong, N. Huang, and K.L. Zheng. 1996. RFLP mapping of QTLs for yield and related characters in rice (*Oryza sativa* L.). *Theor. Appl. Genet.* 92: 920-927.
- 11-Manly, K.F. and J.M. Olson. 1999. Overview of QTL mapping software and introduction to map manager QT. *Mammalian genom* 10: 327-334.
- 12-Marri, P.R., N. Sarla, V. Laxminarayana, R and EA Siddiq. 2005. Identification and mapping of yield and yield related QTLs from an Indian accession of *Oryza rufipogon*. *BMC Genetics* 6: 33-46.
- 13-Rabiei, B., M. Valizadeh, B. Ghareyazie, M. Moghaddam & A.J. Ali, 2004. Identification of QTLs for rice grain size and shape of Iranian cultivars using SSR markers. *Euphytica* 137: 325-332.
- 14-Septiningsih, EM., J. Prasetyono, E, Lubis, T.H. Tai, T. Tjubaryat, S. Moeljopawiro and S.R. McCouch: 2003. Identification of quantitative trait loci for yield and yield components in an advanced backcross population derived from the *Oryza sativa* variety IR64 and the wild relative *O. rufipogon*. *Theor. Appl. Genet.* 107:1419-1432.
- 15-Vos, P., R. Hoger, M. Bleeker, M. Reijans, T. Van de Lee, M. Hornes, A. Frijters, J. Pot, J. Peleman, M. Kuiper, and M. Zabeau. 1995. AFLP: a new technique for DNA fingerprinting. *Nucleic Acids Research*, 23, 4407-4414.
- 16-Xiao, J., J. Li, L.P. Yuan, and S.D. Tanksley. 1995. Identification of QTLs affecting traits of agronomic importance in recombinant inbred population derived from a sub specific rice cross. *Theor. Appl. Genet.* 92: 230-244.
- 17-Xiao, J.H., J.M. Li, L.P. Yuan and S.D. Tanksley. 1996. Identification of QTLs affecting traits of agronomic importance in a recombinant inbred population derived from a subspecific rice cross. *Theor. Appl. Genet.* 92: 230-244.
- 18-Xiao, J., J. Li., S. Grandillo., S.N. Ahn., L. Yuan., S.D. Tanksley and S.R. McCouch: 1998. Identification of trait-improving quantitative trait loci alleles from a wild rice relative, *Oryza rufipogon*. *Genetics* 150:899-909.
- 19-Yoon, D.-B., K.-H. Kang., H.-J. Kim., H.-G. Ju., S.-J. Kwon., J.-P. Suh and O.-Y. Jeong. 2006. Mapping quantitative trait loci for yield components and morphological traits in an advanced backcross population between *Oryza grandiglumis* and the *O. sativa* japonica cultivar Hwaseongbyeo. *Theor. Appl. Genet.* 112: 1052-1062.
- 20-Yu, S.B., J.X. Li, C.G. Xu, Y.F. Tan, Y.J. Gao, X.H. Li, Q. Zhang and M.A. Sagai Maroof. 1997. Importance of epistasis as the genetic basis of heterosis in an elite rice hybrid. *Proc Natl Acad Sci.* 94: 9226-9231.
- 21-Zeng, Z.B. 1993. Theoretical basis of separation of multiple linked gene effects on mapping quantitative trait loci. *Proc. Natl. Acad. Sci. USA* 90: 10972-10976.
- 22-Zeng, Z.B. 1994. Precision mapping of quantitative trait loci. *Genetics* 136: 1457-1468.
- 23-Zhuang, J.Y., H.X. Lin, J. Lu, H.R. Qian, S. Hittalmani, N. Huang and K.L. Zheng. 1997. Analysis of QTL × environment interaction for yield components and plant height in rice. *Theor. Appl. Genet.* 95: 799-808.

## Mapping QTLs controlling yield in two Iranian rice cultivars- $F_2$ populations

S. Movafegh,<sup>1</sup> B. Rabiee<sup>2</sup>, A. Zare Feizabadi<sup>3</sup>, G. Taheri<sup>4</sup>

### Abstract

In this study, a linkage map of 117 AFLP markers was constructed in an  $F_2$  population derived from a cross between two Iranian rice varieties, Domsephid and Gerdeh. This map used for identification of the QTLs controlling yield in  $F_2$ . Average grain yield in parents Gerdeh and Domsephid were 43.25 and 31.55 g/plant respectively, and t-test showed significant difference ( $P<0.01$ ) between two parents. Genotypes were determined for  $F_2$  individuals using 117 AFLP markers. The linkage map of the population was generated with Map Manager V2.6.5. Map length was 1212 cM with an average interval size of 11.88 cM. QTLs analysis were carried out to determine the relationship between marker genotypes and trait values in  $F_2$  individuals using simple interval mapping (SIM) and composite interval mapping (CIM). In  $F_2$  population, one QTL associated with yield was determined on linkage group 2. Phenotypic variation associated with this QTL and its additive effect was 8.3% and 4.74 gr, respectively. In this QTL, alleles from Gerdeh increased grain yield.

**Key words:** Rice, Linkage map, AFLP markers, QTL analysis